Описанная разновидность ППИМ-3 была реализована в замкнутом тяговом электроприводе постоянного тока с двигателями типа ДК-263А общей мощностью 160 кВт при $f_{\rm per}=400~\Gamma\mu$ (T=0.0025~c) и $f_{\rm r}=100~\kappa\Gamma\mu$,

JINTEPTYPA

- 1 Слепов И. И., Дроздов Б. В. Широтно-импульская модуляция.—М.: Энергия, 1978.—192 с.
- жоськие О. А., Коропетия А. К. Анализ способа снихронной фильтрации управляющего сигнала в тяговых электроприводах с ГИСУ//Автоматизация систем тягового привода и электроснабжения: Сб. науч, трудов № 238.—М. Моск. энерг ин-т, 1990.—С. 38—44.

АрмНИИМАШ

20 1X 1990

Изв АН Армения (сер. ТН), г. XLIV, № 4, 191, с. 193-200.

НАУЧНОЕ ПРИБОРОСТРОЕНИЕ

УДК 528.5

К. С. ГЮНАШЯН, Е. А. АЙРАПЕТЯП, В. А. МАРКАРЯН

ОТРАЖАТЕЛЬ ДЛЯ СВЕТОДАЛЬНОМЕРА ДВСЛ 1200

Рассматривности особенности работы плоского деркала, трипельприямы или уголькового жателя и зеркально-линаового отражателей, предназначенных и качестве отражателы для высокоточного састодальномера ДВСД-1200. Приведены результаты измерений.

Ил. 5. Библиогр.; 4 назв

ին գնրթարձր Տշտուիչան լուսաչևոտչափի հախատես ված Հարի յր անկյունային և Հայելա-ոսպելակային անդրադարձիւի աչ խատանցի առանձնաՏատկությունները։ հն փորձնական արդյունջները։

На отражатель высокоточного светодальномера, предназначенный для работы ил коротких диниях длиной 100...300 м, устанавливаются следующие основные требования: максимальная отражательная способность при минимальных размерах; сохранение равномерной освещенности приемной зоны светодальномера при различных флуктуациях атмосферы и перепадах температуры; сохранение поляризации немодулированного и фазы модулированного света; концентрация интенсивности приемного луча. Для светодальномера без приемно-передающей оптики, каким является ДВСД-1200 [1], большинство указанных требований выполнимы известными отражателями как фокусирующее зеркало, трипельпризмы и зеркально-линзовые системы.

Работу этих отражателей следует рассмотреть для молулированного и исмодулированного света, т. к. деполяризация в обоих случаях может привести к нарушению чли ухудшению работы светодальномера. Ниже рассматриваются особенности работы указанных отражателей.

1. Фокусирующее зеркало. Несмотря на трудности ориентации, существенное увеличение диальности измерения ДВСД-1200 можно обеспечить применением фокусирующего зеркала. Определение допусков на ориентацию отражателя в виде фокусирующего зеркала связано с наименьшим днаметром дуча, которого можно получить в фокусе зеркала, и днаметром самого зеркала, обычно равного 120 ... 150 мм. Для этого учетывается максимальная дляна измеряемой линии и неплоскостность зеркала, обычно равная 10 ... 15" и образующая рассенвание в отраженном свете удвоенное значение этого угла.

В известных светодальномерах отражателем возпращается $10\dots 12^{o}/_{0}$ начальной интенсивности света. При лазерном источнике света с раскрывом луча ϕ_{+} 6' величина — определяется из отношения диаметра зеркала D_{8} к диаметру луча D_{8} . На плоскости отражателя должно иметь место D_{0} D_{0} \times 100 - 100 - 0. С другой стороны D_{0} — ϕ_{0} или же — ϕ_{0} ϕ_{0} ϕ_{0} Учитывая потери света и пути, принимается D_{0} ϕ_{0} ϕ_{0}

Чтобы е расстояния 5 10 м при днаметре веркала, равного 150 мм, на светода вномере получить луч днаметром 70 мм, фокусное расстояние теркала должно составить $F=\varrho$ 70 φ , \simeq 40 м. С расстояния 500 м ошибка сриентации веркала на угол φ_0 может определиться из условия, при котором смещение луча на светодальномере должно быть меньше или равно половине днаметра приемного луча, т. е. $h \ll 2 \varphi_0 C_{\max}/\rho \ll 0.5 d$ или $\varphi_0 \ll 0.5 d p/2 D_{\max} \ll 8$,

Получено, что погрешность ориентации фокусирующего зеркало при раскрыве лазерного луча 6^n равна погрешности ориентации плоского зеркала, когда на него направляется нараллельный нучок. А поскольку диаметр приемного канала светодальномера ДВСД-1200 намного меньше, чем диаметр луча в илоскости приема $(d_{\rm up}/d=0.036)$, то статистические изменения выходного сигнала фотоприемника при сцинтилляции приемного луча могут быть очень большими.

Измерення показаля, что на линии длиной 150 м при разности температур на концах линии, равной 10 ... 12°C, амплитуда колебаний светлых участков отраженного луча составляла 8 ... 10 мм от пременами полностью нарушалась работа светодальномера. Решением этого вопреса является применение приемной оптики диаметром, по меньшей мере равном 25 ... 30 мм, или же фокусирующего отражателя зеркально-линзовой конструкции.

2. Трипельпризми или уголковый отражитель. Основным недостатком ясех уголковых отражателей является сложность изготовления и большие потери интенсивности отраженного света, достигающие до 40% для полой призмы при среднем коэффициенте отражения от одной плоскости, равном 0,85. Кроме того, имеются результаты [2], не рекомендующие применение уголкового отражателя при поляризационной модуляции света, хотя в [3] на основе анализа поляризационных свойств уголкового отражателя показано, что в некоторых случаях их можно использовать.

Иврестно, что отражающие грани уголкового отражателя поворачивают плоскость поляризации света на одинаковые углы и противоположных направлениях и при любой ориентации возвращают одинановые интенсивности света [2, 3]. Поэтому на выходе приемной оптики, направленной по оси отраженного света, результирующий свет после анализатора эквивалентен поздействию снета, отраженного от плоского зеркала, исходя из того, что световой поток принимается от всех участков рабочей вппертуры отражателя

В тех случаях, когда поляризационный светодальномер не имеет приемной оптики, я диаметр приемного отверстия (2,5 ... 3 мм) нам ного меньше, чем рабочая аппертура отражателя ($\emptyset \approx 50$ мм), имеется приемный поток света от одних участков аппертуры отражателя. В таких случаях матричное решение для блок-схемы молу ляции-демодуляции света на рис. 1 учитывает поворот эллипсы по ляривации источника света

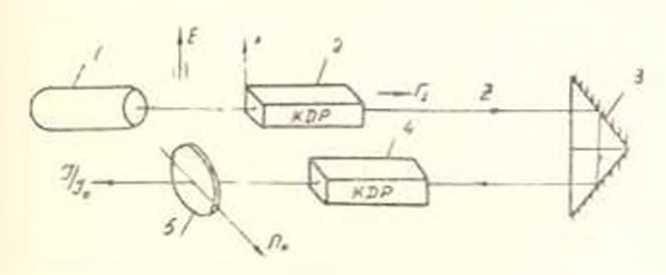


Рис 1

Матрица лля уголкового отражателя определяется на ныраже вия [4]

$$E_1 = M_2 \cdot E_1 = E_0 e^{it} \begin{vmatrix} 1 \\ 0 \end{vmatrix} \qquad (1)$$

где E_1 — нектор Джонся для линейно поляризованного света, элек трический вектор E ноторого колеблется и вертикальной плескости XZ_1 (рис.1): — и ϵ — амплитуда и фаза вектора E: E_2 — вектор Джонса для отраженной световой полиы

$$M_{2} = \frac{1}{1 + \frac{E_{2}^{2}}{2}} e^{i\left(\frac{h_{2} - h_{2}}{2} - \epsilon\right)} \left[\cos Re^{-\frac{h_{2}}{2}} \sin Re^{-\frac{h_{2}}{2}} \right]$$

$$= \frac{h_{2}}{1 + \frac{h_{2}}{2}} e^{i\left(\frac{h_{2} - h_{2}}{2} - \epsilon\right)} \left[\cos Re^{-\frac{h_{2}}{2}} \sin Re^{-\frac{h_{2}}{2}} \right]$$

$$= \frac{h_{2}}{1 + \frac{h_{2}}{2}} e^{i\left(\frac{h_{2} - h_{2}}{2} - \epsilon\right)} \left[\cos Re^{-\frac{h_{2}}{2}} \sin Re^{-\frac{h_{2}}{2}} \right]$$

$$= \frac{h_{2}}{1 + \frac{h_{2}}{2}} e^{i\left(\frac{h_{2} - h_{2}}{2} - \epsilon\right)} \left[\cos Re^{-\frac{h_{2}}{2}} \sin Re^{-\frac{h_{2}}{2}} \right]$$

$$= \frac{h_{2}}{1 + \frac{h_{2}}{2}} e^{i\left(\frac{h_{2} - h_{2}}{2} - \epsilon\right)} \left[\cos Re^{-\frac{h_{2}}{2}} \sin Re^{-\frac{h_{2}}{2}} \right]$$

$$= \frac{h_{2}}{1 + \frac{h_{2}}{2}} e^{i\left(\frac{h_{2} - h_{2}}{2} - \epsilon\right)} \left[\cos Re^{-\frac{h_{2}}{2}} \sin Re^{-\frac{h_{2}}{2}} \right]$$

$$= \frac{h_{2}}{1 + \frac{h_{2}}{2}} e^{i\left(\frac{h_{2} - h_{2}}{2} - \epsilon\right)} \left[\cos Re^{-\frac{h_{2}}{2}} \sin Re^{-\frac{h_{2}}{2}} \right]$$

$$= \frac{h_{2}}{1 + \frac{h_{2}}{2}} e^{i\left(\frac{h_{2} - h_{2}}{2} - \epsilon\right)} \left[\cos Re^{-\frac{h_{2}}{2}} \sin Re^{-\frac{h_{2}}{2}} \right]$$

$$= \frac{h_{2}}{1 + \frac{h_{2}}{2}} e^{i\left(\frac{h_{2} - h_{2}}{2} - \epsilon\right)} \left[\cos Re^{-\frac{h_{2}}{2}} \sin Re^{-\frac{h_{2}}{2}} \right]$$

$$= \frac{h_{2}}{1 + \frac{h_{2}}{2}} e^{i\left(\frac{h_{2} - h_{2}}{2} - \epsilon\right)} \left[\cos Re^{-\frac{h_{2}}{2}} \sin Re^{-\frac{h_{2}}{2}} \right]$$

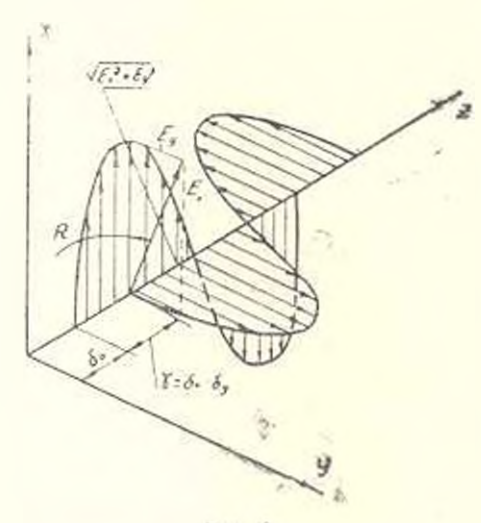
$$= \frac{h_{2}}{1 + \frac{h_{2}}{2}} e^{i\left(\frac{h_{2} - h_{2}}{2} - \epsilon\right)} \left[\cos Re^{-\frac{h_{2}}{2}} \sin Re^{-\frac{h_{2}}{2}} \right]$$

 $R = \arctan(E_x/E_x)$, $\gamma = \delta_x = E_x$ и $E_x = 0$ и $\delta_y = \kappa$ сомноненты амилитуды и фазы отраженной волны. Взаимное расположение основных векторов и фаз в выражении (2) показаны на рис. 2. Остальные матрицы оптических элементов блок-схемы на рис. 1 следующие:

$$M_{\pi, 1} = \begin{bmatrix} \cos \frac{\Gamma_{1, 2}}{2} & l \sin \frac{\Gamma_{1, 2}}{2} \\ l \sin \frac{\Gamma_{1, 2}}{2} & \cos \frac{\Gamma_{1, 2}}{2} \end{bmatrix} \qquad M_{\pi} = \begin{bmatrix} 0 & 0 \\ 0 & 1 \end{bmatrix}$$
(3)

 $M_{7,4}$ — магрицы модулятора-демодулятора света со сдвигами фазы модуляции Γ_{1} и демодуляции Γ_{2} , M_{5} — матрица анализатора с горизонтальной осью пропускания света. Электрический вектор Джонса на мыхоле анализатора определяется решением уравнения для $F_{1,4}$

$$E_{\text{aux}} = M_1 M_1 M_2 M_2 M_1. \tag{4}$$



FHC. 2.

Общее решение уравнения (4) после переумпожения матриц и перехода к интенсивности света $I = E E^*$ получим в виде

$$I = [1 - \cos 2R \cos (\Gamma_1 + \Gamma_2) + \sin 2R \sin (\Gamma_4 + \Gamma_2) \sin \gamma] A^2/2, \quad (5)$$

$$1Ae A = 1 \overline{E^2 + E^2} e$$

Решение (5) ноказывает, что влияние уголкового отражателя на отраженный свет существенно отличается от плоского зеркала.

Чтобы оценить степень поляризации присмного светь, следует учитывать условие минимума демодулированного света $\Gamma_1 = -\Gamma_2$ и то, что $A^2 \rightarrow I^0$, а $\cos 2R = \cos 2\pi \cos 23$. Тогда из решения (5) получим

$$I/I_0 = [1 - \cos 2\alpha \cos 2\beta]/2, \tag{6}$$

где з азимут больщой оси эллигса отраженнов волны. β — степень эллиптичности отраженного света.

Получено, что остаточный свет, величина которого может быть определена только экспериментально, не является результатом поляризационной модуляции света. Такой результат и независимость отвошения III_0 от разности фаз γ указывает на то, что остаточный свет возникает в немодулированном свете. Это приводит к сдвигу рабочей точки модулятора-демодулятора света от нулевого положения модуляционной характаристики света, что приводит к уменьшению эффективности его модуляции независимо от величным напряжения на кристаллах. Пры палични модуляции остаточный свет не меняется, т. к. ври $\Gamma_1 + \Gamma_2 = \pi$ имеем

$$I_i I_0 = [1 - \cos 2x \cos 2\theta] \ 2, \tag{7} i$$

1. с. макоимум света уменьшается настолько, насколько увеличивается минимум.

Импульсный режим модуляции света в светодальномере ДВСД-1200 позволяет на экране осциллографа следить за изменением амплитуды как модулированного, так и немодулированного света. Эксперименты показали:

- а) в положения минимума света остаточного света и импульсе модуляции не наблюдзется:
- б) глубина молулянии или зависимость амплитуды импульса модуляции от изменения положения отражателя по сравнению с сигна лом, когда отражателем является плоское зеркало, при одинаковых интененвностях присмеого света уменьшается на 10% для отражателя с внутрениим отражанием, на 5%—для отражателя, грани которого нокрыты стражающим слогм, и на 3%—для отражателя в виде полой призмы (рис. 3);
- в) остаточный сист наблюдается в немолудированном луче в таком же процентном соотношения, как и уменьшение модуляции света для каждого вида отражатсля. Кроме того, чем меньше размеры уголкового отражателя, тем меньше остаточный свет.
- 3. Зеркально-линговый отражатель. Для опенки особенности работы таких систем принято, что вобота объектива лизметром D_{06} не отличается от работы тонкой линзы. На эту линзу (рис. 4) направляется дазерный пучок с расходимостью q_1 и фокусируется на зеркале 3, находящегося от фокальной плоскости объектива на расстоянии 2 Δ . При установне илоского асркала перпендикулярно к оптической оси объектива на плоскости 2, находящейся от фокусного расстояния на Δ , сграженные лучи после главной плоскости NN' объектива будут возвращаться на светодальномер параллельным пучком.

Парадлельные лучи перссекутся с надающими на объектив лучами на расстоянии, равном фокусному расстоянию объектива от плоскости NN'. Если веркало приблизить к объективу на величину

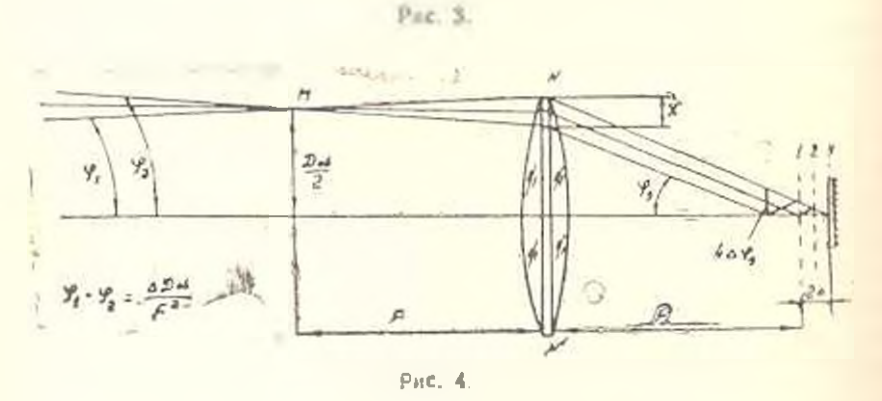
 2Δ и установить в плоскости I на расстоящий F от плоскости NN', то на светодальномер направится расходящийся пучок под углом ϕ_2 . Если же зеркало установлено влево от плоскости I на некоторую величину, то все отраженные лучи должны проходить через точку M (рис. 4) и иметь расходимость больше, чем ϕ_2 . На основе схемы прохождения лучей, построенных на рис. 3, можно написать

$$(+ + \varphi_3)F = \lambda' = 4\Delta\varphi_3 - 2\Delta D_{00}; \qquad \varphi_1 + \varphi_2 = \frac{2\Delta D_{00}}{2}. \tag{8}$$

точно так же

$$\varphi_1 = \varphi_n = \frac{n\Delta D_{\phi\phi}}{F^2} \quad \text{HAII} \quad \varphi_1 = \frac{\Delta D_{\phi\phi}}{F^2} \quad (9)$$





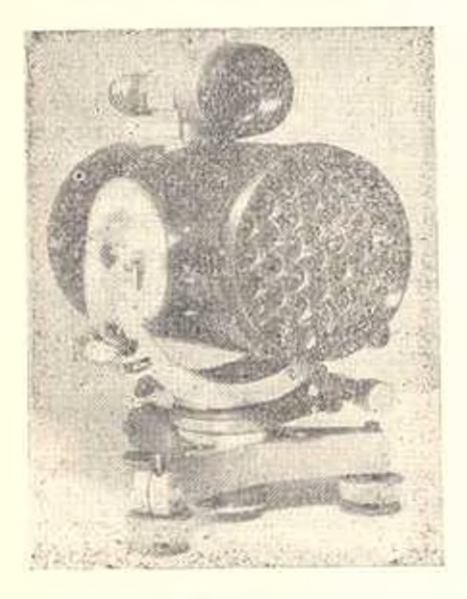
Последнее выражение указывает на то, что приемный луч можно фокусировать в том случае, когда на объектив поступает параллельный пучок света, а остальные выражения показывают возможность

фокуснровки и расфокуснровки приемного луча путем изменения расстояния между объективом и зеркалом. Уменьшение этого расстояния меньше, чем фокусное, соответствует работе отражателя на коротких линиях, когда интенсивность приемного луча без увеличения рассенвания окажется больше необходимой. При увеличении расстояния, когда интенсивность света педостаточна для работы светодальномера, расстояние межлу объективом и зеркалом нужно пыбрать больше, чем фокусное.

При установке зеркаля точно в фохусе объектива ($\Delta = 0$) расходимость приемных лучей сохраняется (φ_2) и наоборот, при смещении зеркала на расстояние 2Δ : т. е. лучи могут позвращаться слодимостью, равной расходимости. Величину Δ можно определить на основе выражения (9)

$$\Delta \approx 10 \sigma F/\sigma_0$$
 (10)

где ρ — число секуил в радиане, ог $D_{\infty} \approx 10$ принято из условия, что суммариля абберяция не презышает 10° . При $2\phi = 6^{\circ}$ для лазерного луча величина Δ будет равна $\Delta = F \cdot 10^{-1}$.



Line 5

Чтобы определить величину Δ , необходимо иметь фокусное расстояние или диаметр — сектива. При этом следует исходить из того, что необходимость в фокусировке возникает на липнях длиной 100 м и больше. При максимальной длине 500 м величина Δ увеличится в 5 раз. Учитывая, что при переход — параллельного луча к фокусирующему под углом ϕ_1 фокусное расстояние увеличивается на 2Δ , то на 500 м фокусное расстояние составит 10Δ . Для объективов с фокусным расстоянием 200 мм имеем: $\Delta = 10^{-2} \cdot 200 = 2$ мм, а максимальное изменение фокусного расстояния составит 2 мм.

110 этому принципу разработки новый малогабаритный отражатель на объективах диаметром $D_0=15$ мм и фокусным расстоянием 150 мм. Для такого отражателя (рис. 5) $\Delta=1.5$ мм, а максимальное изменение фокусного расстояния составляет 15 мм. Количество объек тивов и новом отражателе определяется, исходя из максимального диаметра зеркала, равного 120 мм.

Результаты экспериментов показали, что работа светодальномера сохраняется при опибке ориентации отражателя, равной 1°. Интенсивность приемного света на линии длиной 500 м при работе с зеркально-линаовым отражателем в два раза больше, чем от фокусирующего зеркала. По мере увеличения измеряемого расстояния величина перемещения объективов в отношении зеркала уменьшается. Начиная с расстоянии 100... 120 м, в приемном свете наблюдается сетка, состоящая из ярких и темных точех. По мере увеличения расстояния шаг сетки увеличивается тем больше, чем меньше лиаметр объективов. На линиях 300... 350 м шаг сетки при $D_{\rm q}=17$ мм равен 3... 3,5 мм. Это явление еще раз указывает на необходимость применения в светодальномере ДВСД-1200 приемной оптики.

JHTEPATYPA

- Вайнберг В. Я. Шаров Ф. В. Исследование макетов систодальномеров тяла ДВСД-1200 с зеркальной коллимирующей системой//Геодеани и картография. 1983. № 4.—С, 17—20.
- Об отражателях для светодольномеров с модуляцией света по полярчзации/И И.
 Адрианова, Ю. Г. Королев, В В. Митрофанов и др.//Оптико-механическая
 промышленность—1972.—№ 10.—С. 66—67.
- 3 Бондаренко И Д., Хонок Б. Ю. Применение тетрардических зерклымых отражателей в активных системах с модуляцией састового потока по полныващии// Оптико-мехацическая промышлениесть.—1976.—№ 2.—С. 75—77
- 4. Шерклифф У. Поляризованный свет.-М.: Мир. 1965.- 264 с.

ЕрПИ 20, Х11, 1989

Изв. АН Армении (сер. ТН), т. XLIV, № 4, 1991, с. 200-203.

РАДИОЭЛЕКТРОНИКА

УДК 536.5 587

Р. А СИМОНЯН, О. А. МАРТИРОСЯН

ДВУХКАНАЛЬНЫЙ ИСТОЧНИК ЭТАЛОННОГО ИЗЛУЧЕНИЯ ИК ДИАПАЗОНА ДЛИН ВОЛН

Ол гона система с друми излучателями на основе макетов АЧТ. Схема термостати в сии обеспечивает не только высокую точность термостатировании излучателез и кател. АЧТ, на и высокую точность поддерживания разности температур излучателей. Приведены функциинальная схема системы и се технические характеристики.

1-т. 1 Библиогра З наза.